EL NIÑO/OSCILACIÓN DEL SUR (ENSO, por sus siglas en inglés)
DISCUSIÓN DIAGNÓSTICA
emitido por el

CENTRO DE PREDICCION CLIMÁTICA/NCEP/NWS
Traducción cortesía del: NWS-WFO SAN JUAN, PUERTO RICO
10 de julio de 2025

Estatus del Sistema de alerta del ENSO: Inactivo

Sinopsis: ENSO-neutral es lo más probable hasta avanzado el verano 2025 en el hemisferio norte (56% de probabilidad entre agosto a octubre). Luego de esto, las probabilidades de La Niña aumentan para el otoño e invierno 2025-26, pero permanecen comparables a ENSO-neutral.

Durante junio 2025, el ENSO-neutral continuó, con temperaturas de la superficie del mar (SSTs, por sus siglas en inglés) cercanas al promedio prevaleciendo a través de la mayor parte del océano Pacífico ecuatorial (Fig. 1). Los valores más recientes del índice semanal de El Niño oscilaron entre 0.0°C y +0.4°C (Fig. 2). Las temperaturas subsuperficiales del océano estuvieron ligeramente positivas y casi no cambiaron en comparación con el mes anterior (Fig. 3), con temperaturas mayormente por encima del promedio establecidas a lo largo de la termoclina (Fig. 4). Sobre el océano Pacífico este central y este ecuatorial, las anomalías en los vientos de los niveles bajos estuvieron del este y en los nivelas altos, las anomalías estuvieron del oeste. La convección permaneció resaltada sobre Indonesia (Fig. 5). En conjunto, el sistema acoplado océano-atmósfera en el Pacífico tropical reflejó condiciones de ENSO-neutral.

Las predicciones del IRI indican que ENSO-neutral es más probable durante el invierno del hemisferio norte 2025-26 (Fig. 6). En contraste, el Conjunto Multi-Modelo de Norteamérica favorece el comienzo de condiciones de La Niña durante el otoño del hemisferio norte, aunque con una duración más corta del requerimiento de NOAA de cinco temporadas de 3-meses consecutivos. Aunque la subsuperficie ecuatorial del Pacífico permanece por encima del promedio, se pronostica que los vientos alisios se fortalezcan en el próximo mes, lo que pudiera presagiar condiciones más frescas. En resumen, lo más probable es que el ENSO-neutral prevalezca hasta avanzado el verano 2025 del hemisferio norte (56% de probabilidad entre agosto a octubre). Luego de esto, las condiciones de La Niña aumentan para el otoño e invierno 2025-26, pero permanecen casi iguales a ENSO-neutral (Fig. 7).

Esta discusión es un esfuerzo consolidado de la Administración Nacional Oceánica y Atmosférica (NOAA, por sus siglas en inglés), el Servicio Nacional de Meteorología de NOAA y sus instituciones financiadas. Las condiciones oceánicas y atmosféricas son actualizadas semanalmente en la página web del Centro de Predicción Climática (Condiciones actuales de El Niño/La Niña y La Discusión de Expertos). Un pronóstico probabilístico de la intensidad de ENSO está disponible aquí. La próxima Discusión Diagnóstica de ENSO está programada para el 14 de agosto de 2025. Para recibir una notificación por correo electrónico cuando la Discusión Diagnóstica de ENSO mensual esté disponible, favor enviar un mensaje a: ncep.list.enso-update@noaa.gov.

Centro de Predicción Climática
Centros Nacionales de Predicción Ambiental

NOAA/Servicio Nacional de Meteorología
College Park, MD 20740

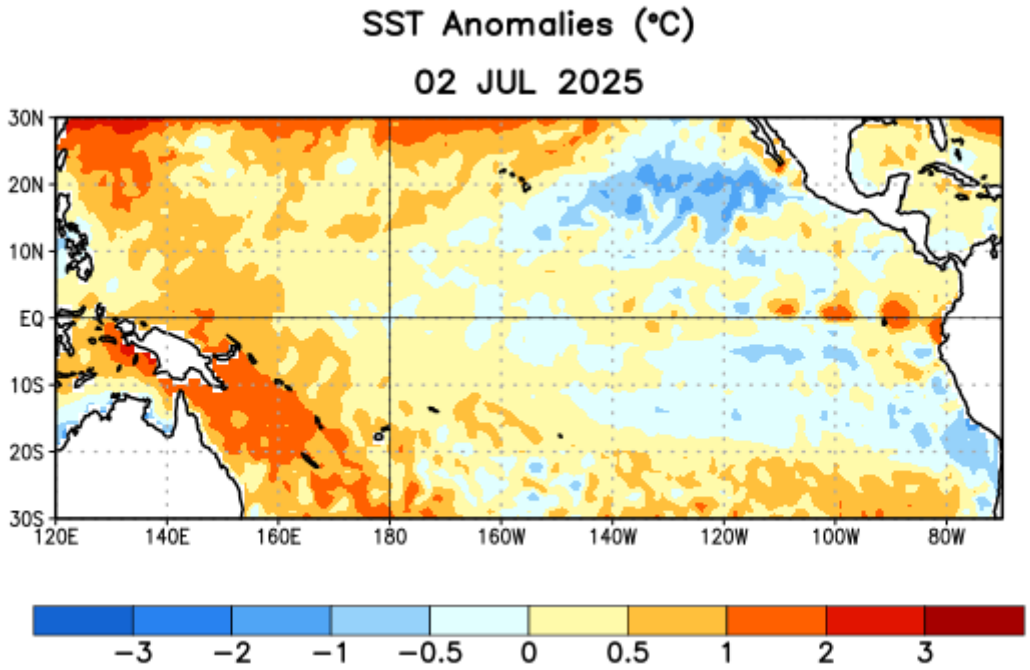

Figura 1. Anomalías (°C) promedio de la temperatura de la superficie del océano (SST, por sus siglas en inglés) para la semana centrada el 2 de julio de 2025. Las anomalías son calculadas utilizando como referencia los periodos promedio semanales de 1991-2020.

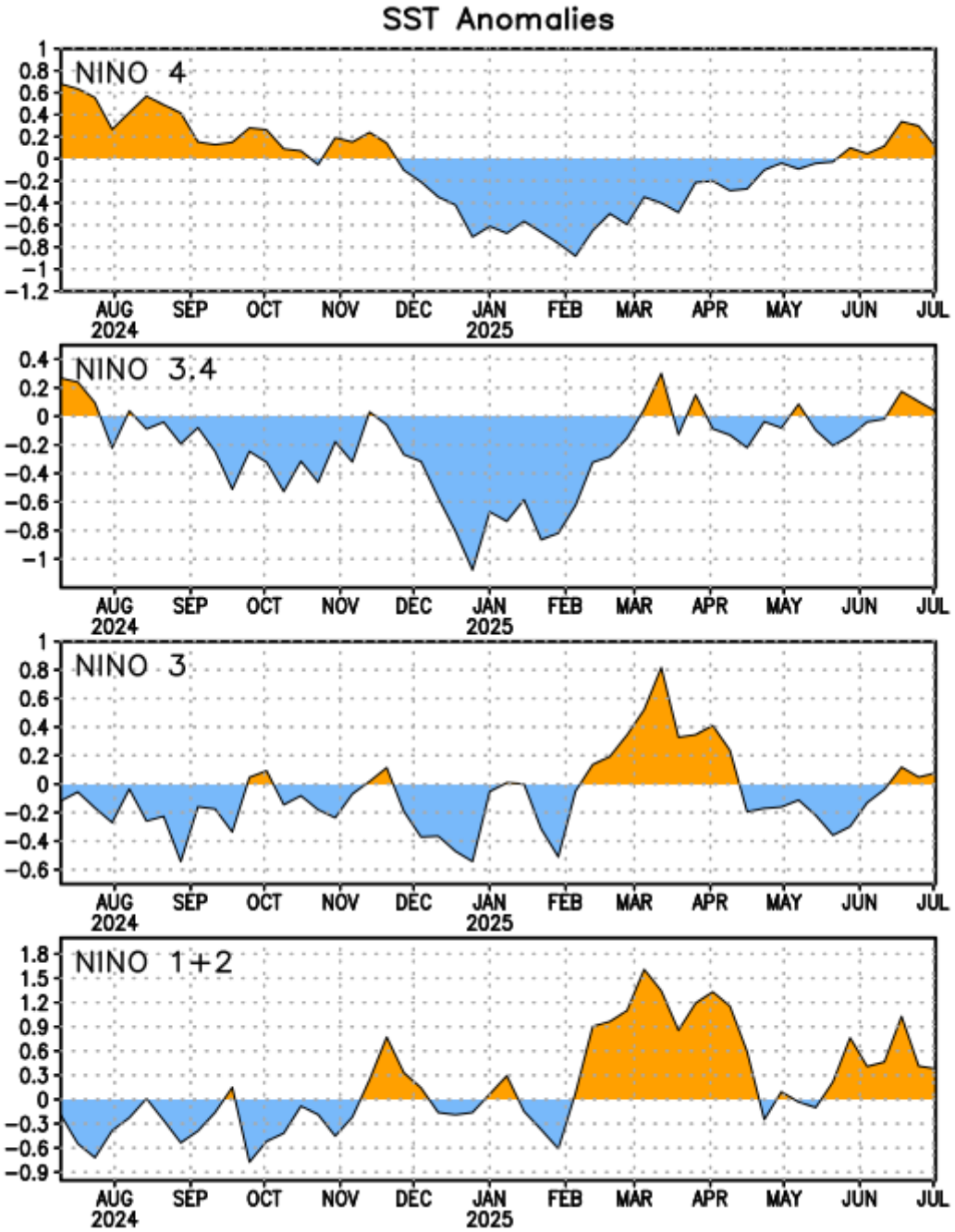

Figura 2. Series de Tiempo de las anomalías (en °C) de temperaturas de la superficie del océano (SST) en un área promediada en las regiones del Niño [Niño-4 (5ºN-5ºS, 150ºW-160ºE), Niño-3.4 (5°N-5°S, 170°W-120°W), Niño-3 (5°N-5°S, 150°W-90°W), Niño-1+2 (0°-10°S, 90°W-80°W)]]. Las anomalías de SST son variaciones de los promedios semanales del período base de 1991-2020.

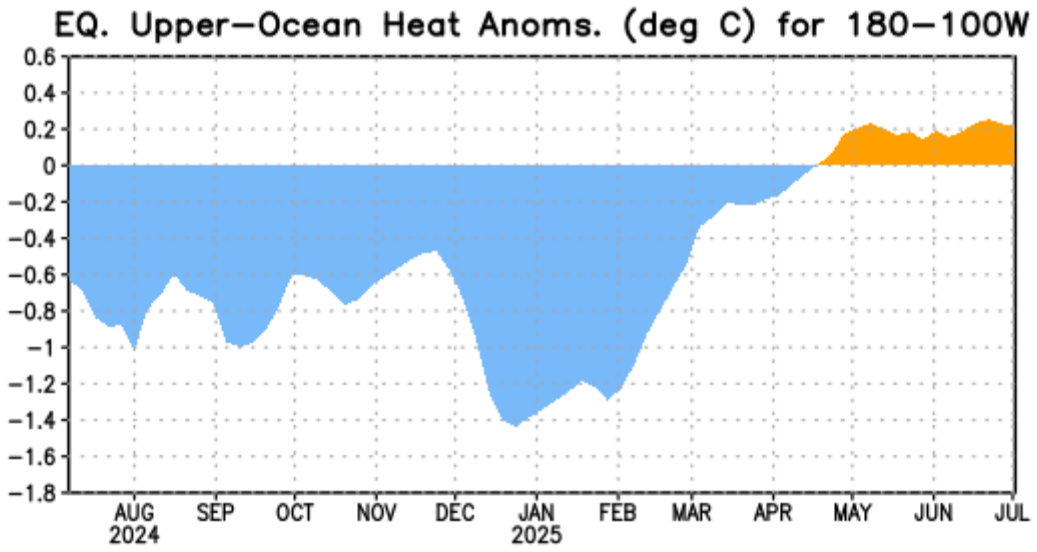

Figura 3. Anomalías del contenido calórico (en °C) en un área promediada del Pacífico ecuatorial (5°N-5°S, 180°-100°W). Las anomalías en el contenido calórico son calculadas como las desviaciones de los penta-promedios del período base de 1991-2020.

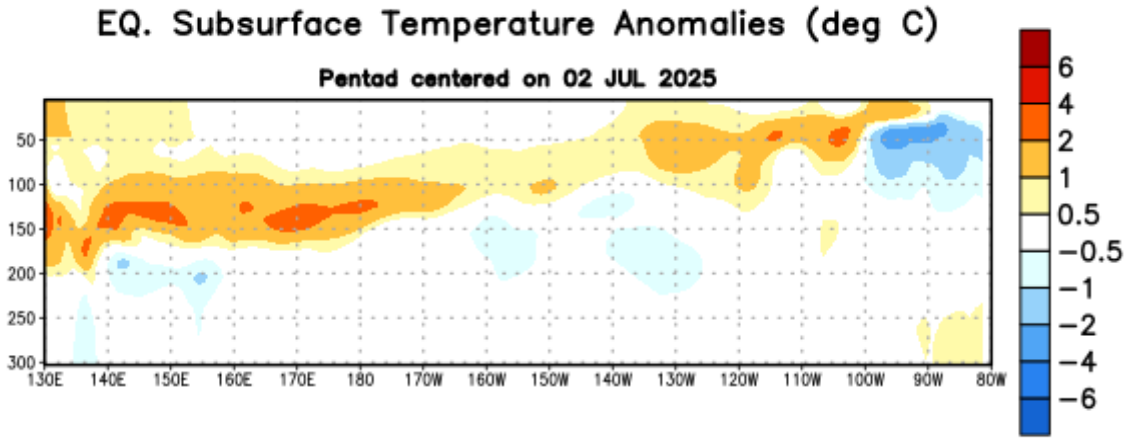

Figura 4: Sección de profundidad-longitud de las anomalías de temperatura (°C) de la capa superior del océano Pacífico ecuatorial (0-300 m) centrada en el pentágono del 2 de julio de 2025. Las anomalías son desviaciones de las medias del pentágono del período base 1991-2020.

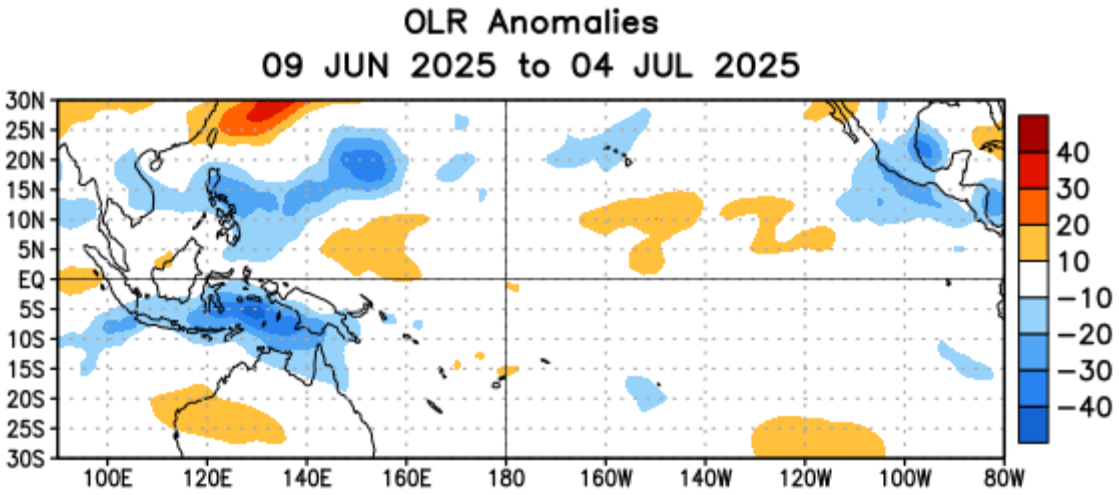

Figura 5. Promedio de las anomalías de radiación de onda larga saliente (OLR) (W/m²) para el período del 9 de junio al 4 de julio de 2025. Las anomalías de OLR se calculan como desviaciones de las medias del pentágono del período base 1991-2020.

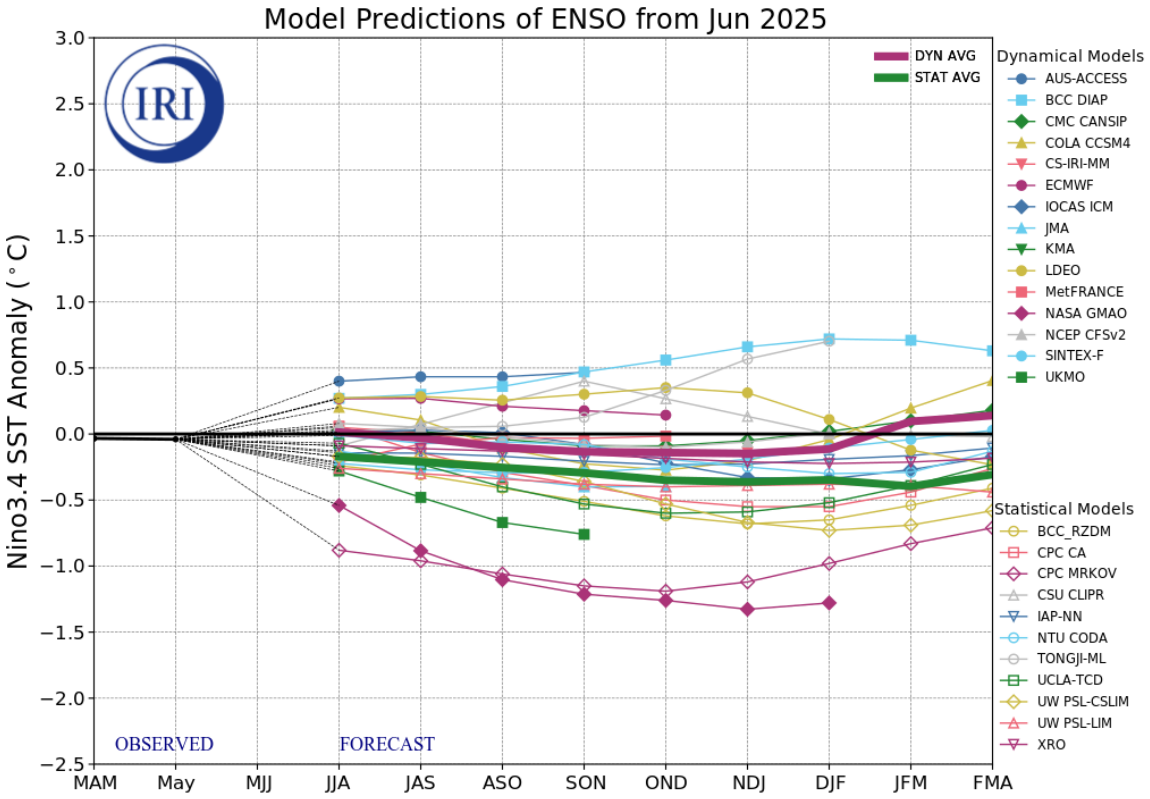

Figura 6. Pronósticos de las anomalías de la temperatura de la superficie del océano (SST) en la región de El Niño 3.4 (5°N-5°S, 120°W-170°W). Figura actualizada el 20 de junio de 2025 por el Instituto Internacional de Investigación (IRI, por sus siglas en inglés) para Clima y Sociedad.

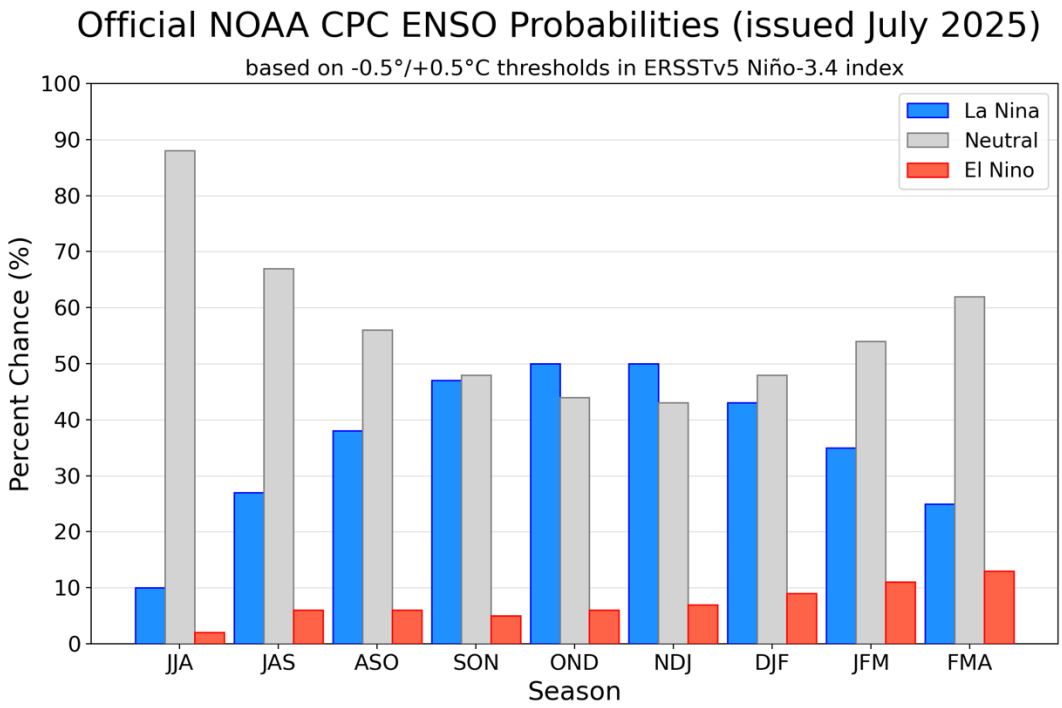

Figura 7. Probabilidades oficiales para el índice de la temperatura en la superficie del mar de El Niño 3.4 (5°N-5°S, 120°W-170°W). Figura actualizada el 10 de julio de 2025.